

## Динамические системы с упругими отражениями и механизм ускорения Ферми

Л. Д. Пустыльников

В названии статьи сфокусирована проблема из области физики, однако приводимые ниже утверждения и доказательства носят строго математический характер.

Результаты, описанные в статье, не только дают ответы на поставленные ранее чисто физические проблемы, но и содержат решения возникающих в этой связи чисто математических задач. Методы, обсуждаемые далее, позволяют решать аналогичные проблемы как в области математики, так и механики и физики.

Физическая задача, ответ на которую по существу здесь описан, это поставленная известным физиком Энрико Ферми проблема: объяснить происхождение в космическом пространстве частиц с высокими энергиями на основе статистики механических столкновений частиц с периодически движущимися в космосе макрообъектами (см. [1]). В основе решения этой задачи лежит исследование специального класса динамических систем, описывающих движение материальной точки внутри некоторой области с движущейся границей.

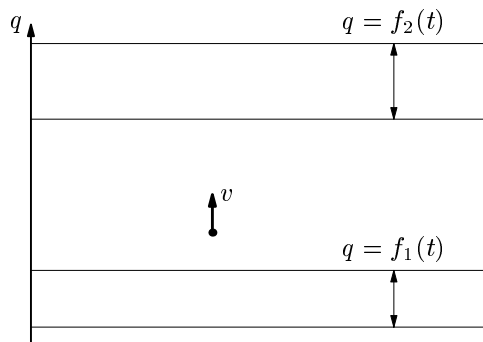
В результате столкновения с границей точка испытывает упругий удар, который будет рассматриваться в дальнейшем как в рамках классической (ニュートン), так и в рамках релятивистской механики (теории относительности). Для понимания математических утверждений, сформулированных и доказанных в настоящей статье, знание механики и теории относительности не обязательно. Общее описание физической проблемы дано в п. 1, а в пп. 2–4 исследуются три основные динамические системы, связанные с этой физической проблемой. По существу, речь идет о возможности или невозможности ухода на бесконечность траекторий некоторых специальных преобразований, задаваемых элементарными функциями. Эти преобразования обозначаются ниже буквами  $A$ ,  $D$  и  $S$ . Несмотря на простоту формулировок полученных результатов (см. теоремы 1, 2 и 3), их доказательства связаны с глубокими теориями в математике. Эти доказательства приведены в работе на уровне идей.

Отметим, что развитые в ходе доказательств методы, примененные к модификациям описанных здесь динамических систем, позволили дать

строгое решение стоящей со временем Клаузиуса, Больцмана и Гиббса проблемы обоснования второго начала термодинамики — закона возрастания энтропии — на основе механики ([2]).

## 1. ПРОБЛЕМА ОБОСНОВАНИЯ МЕХАНИЗМА УСКОРЕНИЯ ФЕРМИ

Для объяснения происхождения быстрых частиц с высокими энергиями в космическом пространстве Э. Ферми в 1949 г. в работе [1] предложил статистический механизм, согласно которому энергия частиц при взаимодействии с периодически двигающимися в космосе макрообъектами возрастает. Под макрообъектами здесь следует понимать поля звезд, галактик и других объектов в космосе. Природа этого механизма может быть изучена уже на самых простых механических моделях. С этой целью математик Станислав Улам рассмотрел следующую динамическую систему ([3]), которая впоследствии получила название «модель Ферми – Улама»: упругий шарик движется в вертикальном направлении  $q$  между двумя параллельными горизонтальными бесконечно тяжелыми стенками, каждая из которых совершает вертикальные периодические колебания по законам  $q = f_1(t)$  и  $q = f_2(t)$  (рис. 1). Здесь  $t$  — время, а  $f_1(t)$  и  $f_2(t)$  — гладкие функции, имеющие одинаковый период по  $t$ , причем  $f_2(t) > f_1(t)$  при всех  $t$ . Улам предлагал изучать два случая: первый случай, когда  $f_1(t)$  и  $f_2(t)$  — синусоиды, и второй случай, когда  $f_1(t)$  — синусоида, а  $f_2(t) \equiv \ell$ , т. е. когда верхняя стенка неподвижна. Гипотеза Ферми и Улама применительно к этой динамической системе состояла в том, что в результате столкновений со стенками энергия шарика будет расти до бесконечности. Эта проблема относится к классической ньютоновской механике, и первоначально ее исследование проводилось численными методами (см. [3]). Однако результаты этих исследований оказались противоположны тем,



*Рис. 1. Модель Ферми – Улама*

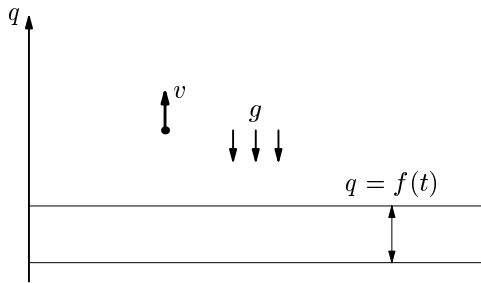
которые ожидались. Несмотря на простоту формулировки проблема Ферми – Улама оказалась, как это часто бывает в математике, нетривиальной, и ее решение было получено только спустя несколько десятков лет впервые в работе [4], а затем в работах [5–7] и в обзоре [2]. Было доказано, что для любых функций  $f_1(t)$  и  $f_2(t)$  указанного вида и любых начальных данных системы для всех моментов времени  $t \geq t_0$  скорость и энергия шарика ограничена по модулю некоторой константой, зависящей только от начальных данных в фиксированный момент времени  $t_0$  и не зависящей от  $t$ . Таким образом, ответ, дающий решение проблемы Ферми – Улама, оказался отрицательным в рамках классической механики. Однако гипотеза Ферми о возможности неограниченного роста энергии частицы при ее механических столкновениях с периодически движущимися стенками оказывается справедливой, если рассматривать модель Ферми – Улама в рамках теории относительности: неограниченный, растущий по экспоненте от времени, рост энергии шарика возможен для начальных положений и скоростей, расположенных внутри множества, имеющего положительный объём [2, 8].

Этот результат доказан при выполнении следующего условия, введенного в работе [2]: существует вещественное число  $t_0$  и целое число  $m_0$  такие, что справедливы соотношения:  $f_1(t) = f_1(t + 2\pi)$ ,  $f_2(t) = f_2(t + 2\pi)$  при всех  $t$ , и

$$\frac{(1 + \dot{f}_1(t_0))(1 - \dot{f}_2(t_0))}{(1 - \dot{f}_1(t_0))(1 + \dot{f}_2(t_0))} > 1, \quad f_2(t_0) - f_1(t_0) = 2\pi m_0 \quad (1)$$

(точка над функцией обозначает дифференцирование по  $t$ , т. е.  $\dot{f}(t) = \frac{df}{dt}(t)$ ). Учет релятивистского фактора в модели Ферми – Улама сказывается только на законе преобразования скорости и энергии шарика при его упругих отражениях от стенок. Он вытекает из законов сохранения энергии и импульса в теории относительности до и после столкновения массивной частицы со стеккой *конечной* массы, а затем перехода к пределу массы стекки к бесконечности.

В п.4 изучается еще одна популярная динамическая система, связанная с механизмом ускорения Ферми. Она описывает движение материальной точки, падающей в поле тяжести с постоянным ускорением на бесконечно тяжелую горизонтальную стенку, которая колеблется в вертикальном направлении согласно периодическому по времени закону и сталкивается с частицей по закону упругого удара (рис. 2). Впервые эта модель была изучена в статье [9], где было доказано существование бесконечного множества (более точно, континуума) начальных данных, приводящих к неограниченному росту скорости шарика. В последующих работах ([10] и [11]) было доказано, что это множество имеет бесконечный объём.



**Рис. 2.** Ускорительная модель с одной стенкой в поле тяжести

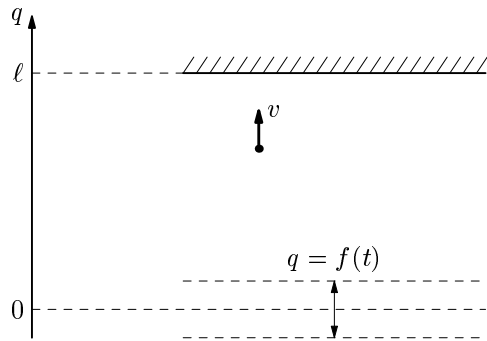
## 2. МОДЕЛЬ ФЕРМИ – УЛАМА

Для простоты изложения рассмотрим только тот случай модели Ферми – Улама, в котором верхняя стенка неподвижна и задается уравнением  $q = \ell$ , а нижняя стенка движется в вертикальном направлении  $q$  по периодическому закону  $q = f(t)$ , где  $f(t)$  — бесконечно дифференцируемая  $2\pi$ -периодическая функция:  $f(t) = f(t + 2\pi)$ , причем  $|f(t)| < \ell$  (рис. 3).

Случай двух колеблющихся стенок мы рассматривать здесь не будем, так как все идеи демонстрируются уже рассматриваемым случаем; отличие лишь в технических деталях.

**ТЕОРЕМА 1.** *Предположим, что в начальный момент времени  $t_0$  шарик имел скорость  $v_0$ . Тогда во все последующие моменты времени  $t \geq t_0$  абсолютная величина скорости  $v$  шарика не превосходит константу, зависящую только от  $v_0$ .*

**ДОКАЗАТЕЛЬСТВО ТЕОРЕМЫ 1.** Предположим, что в некоторый момент времени  $t$  столкновения с нижней стенкой шарик приобрел скорость  $v > 0$ , а в следующий за  $t$  момент времени  $t'$  столкновения ша-



**Рис. 3.** Модель Ферми – Улама с неподвижной верхней стенкой

рика с нижней стенкой он приобрел скорость  $v'$ . Пара  $(t, v)$  однозначно определяет пару  $(t', v')$ . В результате возникает отображение  $A$  плоскости  $\mathbb{R}^2$  с полярными координатами  $(t, v)$  (здесь  $t$  — угол,  $0 \leq t < 2\pi$ , а  $v$  — радиус), имеющее вид:  $A(t, v) = (t', v')$ . Отображение  $A$ , в силу постановки задачи, задается следующими равенствами:

$$t' = t + \frac{\ell - f(t)}{v} + \frac{\ell - f(t')}{v}; \quad v' = v + 2\dot{f}(t'). \quad (2)$$

Равенство для  $t'$  получается прибавлением к  $t$  времени движения шарика вверх до столкновения с верхней стенкой и времени движения вниз — после этого столкновения. Равенство для  $v'$  легко получается из законов сохранения импульса и энергии в момент времени  $t'$  столкновения шарика с нижней стенкой (при вычислениях, естественно, массу нижней стеки следует сначала считать конечной, а затем устремить ее к бесконечности).

Для доказательства теоремы нам потребуется важная лемма (лемма 1), которая дает одно из условий применимости общей теоремы к преобразованию (2). Эта общая теорема позволяет установить, что преобразование  $A$  имеет много инвариантных (т. е. переходящих в себя под действием  $A$ ) замкнутых кривых. Следует отметить, что без выполнения заключения леммы 1 о пересечении кривой и ее образа инвариантных кривых может и не быть (простейший пример: прибавим к радиусу  $v$  одно и то же маленькое число  $\varepsilon > 0$ ).

**ЛЕММА 1.** Пусть  $\gamma$  — замкнутая кривая без самопересечений на плоскости  $\mathbb{R}^2$ , окружающая круг достаточно большого радиуса с центром в начале координат  $v = 0$ . Тогда кривая  $\gamma$  пересекает кривую  $A(\gamma)$ , являющуюся образом  $\gamma$  при отображении  $A$ .

ИДЕЯ ДОКАЗАТЕЛЬСТВА ЛЕММЫ 1 основана на том, что преобразование  $A$  сохраняет «площадь» на плоскости  $\mathbb{R}^2$  (здесь кавычки означают, что сохраняется мера, эквивалентная площади). Поэтому, если бы кривые  $\gamma$  и  $A(\gamma)$  не пересекались, то одна из них содержалась бы в области плоскости, ограниченной другой кривой. Однако это невозможно в силу того, что «площадь» области, ограниченной  $\gamma$ , должна совпадать с «площадью» области, ограниченной кривой  $A(\gamma)$ . Полученное противоречие и завершает доказательство леммы 1. (Подробности см. в [4].)

Продолжим доказательство теоремы 1. Мы воспользуемся идеей, которая оказывается полезной при решении многих математических задач: перейти в окрестность бесконечно удаленной точки (бесконечности) и изучить действие преобразования  $A$  там. Дело в том, что в формуле (2) для выражения  $t'$  есть член  $2\ell/v$ . При больших  $v$  этот член очень мал и входит в качестве слагаемого линейно. Таким образом, в окрестности

$v = \infty$  величина  $y = 2\ell/v$  будет мала, — а это нам и нужно для применения общей теоремы. Поэтому введем новую переменную  $y = 2\ell/v$  и выразим через нее преобразование  $A$ . Нетрудно проверить, что преобразование  $A$ , выраженное в переменных  $t, y$ , в силу (2) превращается в преобразование  $B: (t, y) \rightarrow (t', y')$ , задающееся формулами:

$$t' = t + y + \varphi(y) = t + y - \frac{(f(t) + f(t'))y}{2\ell}, \quad (3)$$

$$y' = y + \psi(t, y) = y - \frac{2y^2 f(t')}{2\ell + 2y f(t')}.$$

Заметим, что для простоты записи мы ввели функции  $\varphi(t, y)$  и  $\psi(t, y)$ , изображающие дроби в правых частях. Переменная  $t$ , как и раньше, играет роль угла, а переменная  $y$  — роль радиуса.

Если при достаточно малом числе  $\varepsilon > 0$  переменная  $y$  удовлетворяет неравенству  $|y| \leq \varepsilon$ , то в силу (3) и (4) справедливы следующие оценки сверху:

$$|\varphi(t, y)| < c_1 |y|, \quad \left| \frac{\partial \varphi}{\partial y}(t, y) \right| < c_1, \quad |\psi(t, y)| < c_2 |y|^2. \quad (5)$$

Здесь  $c_1$  и  $c_2$  — некоторые константы, причем, что очень существенно, константа  $c_1$  удовлетворяет неравенству

$$0 < c_1 < 1. \quad (6)$$

Введем теперь новую переменную  $r$  по формуле  $r = y/\varepsilon$ , причем  $t$  будем рассматривать, как и раньше в качестве угловой переменной, меняющейся в области  $0 \leq t < 2\pi$ . В результате действия этого преобразования кольцо  $y \leq \varepsilon$ ,  $y \neq 0$  (т. е. круг радиуса  $\varepsilon$  с выколотым центром) растягивается и превратится в круг единичного радиуса  $r \leq 1$  с выколотым центром:  $r \neq 0$ . Выразив преобразование  $B$  через новые переменные  $t$  и  $r$ , мы получим преобразование  $U: (t, r) \rightarrow (t', r')$ , зависящее от малого параметра  $\varepsilon > 0$ , которое в силу (3) и (4) имеет вид

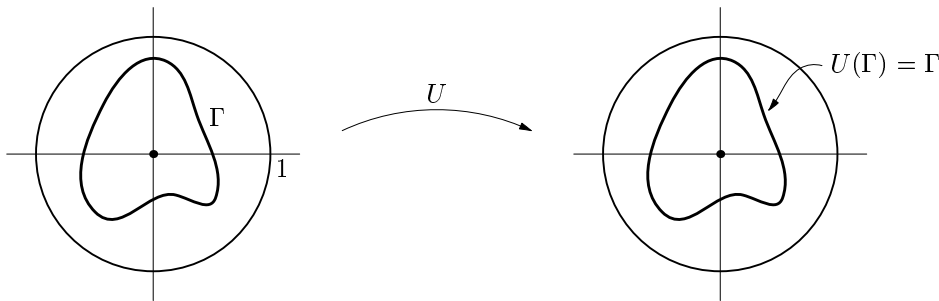
$$t' = t + \varepsilon r + \omega(t, r), \quad r' = r + \rho(t, r). \quad (7)$$

Функции  $\omega(t, r)$  и  $\rho(t, r)$  имеют по  $t$  период  $2\pi$  и удовлетворяют, в силу (5), неравенствам

$$|\omega(t, r)| < c_1 \varepsilon r, \quad \left| \frac{\partial \omega}{\partial r}(t, r) \right| < c_1 \varepsilon, \quad |\rho(t, r)| < c_2 \varepsilon r^2. \quad (8)$$

В результате мы получим отображение  $U$  плоскости  $\mathbb{R}^2$ , к которому и будет применяться общая теорема о существовании инвариантных замкнутых кривых.

Итак, мы рассматриваем преобразование  $U$  в кольце  $0 < r \leq 1$ . Согласно лемме 1, при малом  $\varepsilon > 0$  каждая замкнутая кривая в этом кольце,



**Рис. 4.** Существование инвариантной кривой  $\Gamma$  в кольце  $0 < r \leq 1$

окружающая точку  $r = 0$ , пересекается со своим образом при отображении  $U$ . Поэтому, если параметр  $\varepsilon$  — достаточно малое положительное число, то, в силу (7) и (8), мы попадаем в сферу применения общей теоремы о существовании замкнутых инвариантных кривых для отображения кольца, близкого к повороту на угол, зависящий от радиуса, и удовлетворяющего указанному выше свойству пересечения замкнутых кривых с их образами при этом отображении.

Впервые эта теорема при более сильных ограничениях была доказана Ю. Мозером в [12], а ее обобщение, применимое здесь, в котором существенную роль играет неравенство (6), доказано автором в работе [6]. Согласно этой общей теореме, при малом параметре  $\varepsilon > 0$  в кольце  $0 < r \leq 1$  существует замкнутая кривая  $\Gamma$ , окружающая точку  $r = 0$  и инвариантная относительно преобразования  $U$  (рис. 4). Возьмем прообраз кривой  $\Gamma$  на плоскости  $t, r$  при второй замене переменных, т. е. кривую  $\Lambda$  на плоскости  $t, y$ . Поскольку  $\Gamma$  инвариантна относительно преобразования  $U$  (т. е.  $U(\Gamma) = \Gamma$ ),  $\Lambda$  будет инвариантна относительно преобразования  $B$ :  $B(\Lambda) = \Lambda$ . При этом, напомним, кривая  $\Lambda$  содержится в области  $|y| \leq \varepsilon$ . Сделаем теперь еще один обратный шаг — перейдем от плоскости  $t, y$  назад в плоскость  $t, v$ . Прообраз кривой  $\Lambda$  в исходной плоскости  $t, v$  есть кривая  $\Pi$ , инвариантная относительно исходного преобразования  $A$  и содержащая круг, радиус которого будет стремиться к бесконечности при  $\varepsilon \rightarrow 0$ .

Следовательно, область плоскости  $t, v$ , заключенная внутри кривой  $\Pi$ , инвариантна относительно преобразования  $A$ , т. е. под действием  $A$  она не выходит за пределы этой кривой. Это и означает, что при начальной скорости  $v_0$ , по модулю не превышающей радиус этого круга, заключенного в область, ограниченную кривой  $\Pi$ , скорость  $v$  в любой другой момент времени  $t$  будет также ограничена по модулю.

Теорема 1 доказана.

### 3. РЕЛЯТИВИСТСКИЙ АНАЛОГ МОДЕЛИ ФЕРМИ – УЛАМА

В этом разделе мы изучаем тот же частный случай модели Ферми – Улама, что и в п. 2, но в рамках релятивистской механики (теории относительности). Релятивистский эффект здесь проявляется только в том, что упругий удар шарика об осциллирующую нижнюю стенку учитывает законы сохранения импульса и энергии в теории относительности, в то время как закон отражения от верхней неподвижной стенки в точности такой же, как в ньютоновской механике: после удара меняется только направление (но не величина) скорости шарика.

Не ограничивая общности, предположим, что масса шарика равна 1, а все скорости измеряются в долях скорости света, т. е. скорость света полагается равной 1, а абсолютные величины всех остальных скоростей меньше 1. В этом случае, как известно из теории относительности ([13]), скорость шарика  $v$  и его энергия  $E$  связаны между собой равенством  $E = \frac{1}{\sqrt{1 - v^2}}$ . Так же, как и в предыдущем параграфе, рассмотрим частный случай модели Ферми – Улама, где мы предполагаем, что верхняя стенка — неподвижная и задается уравнением  $q = \ell$ , а нижняя стенка движется в вертикальном направлении  $q$  согласно периодическому закону  $q = f(t)$ , где  $f(t)$  — дифференцируемая  $2\pi$ -периодическая функция такая, что  $|f(t)| < \ell$  (рис. 3). Мы докажем, что в этой модели энергия  $E$  может неограниченно возрастать; скорость шарика при этом будет стремиться к скорости света.

Предположим, что после одного из моментов времени  $t$  столкновения с нижней стенкой шарик приобрел энергию  $E$ , а после следующего за  $t$  момента времени  $t'$  столкновения с нижней стенкой шарик приобрел энергию  $E'$ . Рассмотрим отображение  $D$  плоскости с координатами  $t, E$ ,  $D: (t, E) \rightarrow (t', E')$ , которое задается следующими равенствами:

$$t' = t + \sqrt{\frac{E^2}{E^2 - 1}}(2\ell - f(t) - f(t')), \quad (9)$$

$$E' = E \frac{1 + f(t')}{1 - f(t')} + \frac{2f(t')}{1 - f^2(t')} (\sqrt{E^2 - 1} - E). \quad (10)$$

Равенство (9) для  $t'$  получается из первого равенства (2) для  $t'$  подстановкой  $v = \sqrt{\frac{E^2 - 1}{E^2}}$ , а равенство (10) для  $E'$  получается из релятивистских законов сохранения импульса и энергии, которые здесь мы опускаем.

Прежде чем формулировать и доказывать точную математическую теорему (теорему 2), укажем основную идею построения траекторий с неограниченным ростом энергии. Для предельного преобразования  $\hat{D}$ , введенного в доказательстве и аппроксимирующего преобразование  $D$  при неограниченном возрастании энергии, строится специальная резонансная

траектория, такая что шарик сталкивается с нижней стенкой в моменты времени, сравнимые с  $t_0$  по модулю  $2\pi$  (здесь  $t_0$  — число, введенное в условии теоремы 2). Поэтому после каждого удара с нижней стенкой энергия шарика увеличивается примерно в одно и то же число раз, и то же самое справедливо для некоторой окрестности этой траектории, поскольку она оказывается устойчивой (по Ляпунову). Именно в этом и состоит принципиальное отличие релятивистского случая от классического: в рамках ньютонаовской механики модель Ферми — Улама вообще не имеет резонансных траекторий!

**ТЕОРЕМА 2.** *Предположим, что выполнено следующее условие: существует такое число  $t_0$ , что  $\dot{f}(t_0) > 0$  и  $\ell - f(t_0) = \pi t_0$ , где  $t_0$  — некоторое положительное целое число. Тогда существуют такие числа  $\varepsilon_0 > 0$  и  $E_0 > 0$ , что если начальные данные  $t, E$  удовлетворяют условиям  $|t - t_0| \leq \varepsilon_0$ ,  $E \geq E_0$ , то у траектории преобразования  $D$ ,  $(t_n, E_n) = D^n(t, E)$  ( $n = 1, 2, \dots$ ), величина энергии  $E_n$  стремится к бесконечности при  $n \rightarrow \infty$ , причем ее рост быстрее, чем экспоненциальный:  $E_n > cE k_0^n$ , где  $k_0 = \frac{1 + \dot{f}(t_0)}{1 - \dot{f}(t_0)} > 1$ , а  $c > 0$  — константа, не зависящая от  $t, E$  и  $n$ .*

**ЗАМЕЧАНИЕ.** В общем случае, когда двигаются две стенки, условие теоремы 2 заменяется на условие (1), п. 1.

**ДОКАЗАТЕЛЬСТВО ТЕОРЕМЫ 2.** Главная идея доказательства теоремы 2 аналогична идее доказательства теоремы 1 и состоит в том, чтобы рассмотреть действие преобразования  $D$  в окрестности бесконечно удаленной точки  $E = \infty$ . Однако здесь переход к бесконечно удаленной точке будет осуществляться по-другому.

С этой целью заметим, что в силу (9) и (10) преобразование  $D$  при  $E \rightarrow \infty$  сходится к преобразованию  $\hat{D}$ :  $(t, E) \rightarrow (\hat{t}, \hat{E})$ , имеющему вид

$$\hat{t} = t + 2\ell - f(t) - f(\hat{t}), \quad (11)$$

$$\hat{E} = E \frac{1 + \dot{f}(\hat{t})}{1 - \dot{f}(\hat{t})}, \quad (12)$$

а модули разностей  $|\hat{t} - t'|$ ,  $|\hat{E} - E'|$  являются величинами порядка  $1/E$ , т. е.

$$|\hat{t} - t'| + |\hat{E} - E'| < \frac{\hat{c}_1}{E}, \quad (13)$$

где  $\hat{c}_1$  — константа, не зависящая от переменных  $t$  и  $E$ .

Введем новую переменную  $\eta = \ln E$ . Тогда преобразования  $D$  и  $\hat{D}$ , выраженные через переменную  $\eta$ , перейдут соответственно в преобразования  $P$  и  $\hat{P}$ :

$$P: (t, \eta) \rightarrow (t', \eta'), \quad \hat{P}: (t, \eta) \rightarrow (\hat{t}, \hat{\eta}), \quad (14)$$

где

$$\eta' = \ln E', \quad \hat{\eta} = \ln \hat{E}, \quad (15)$$

а величины  $t'$  и  $\hat{t}$  здесь те же, что и в (9) и (11). При этом неравенство (13) переходит в неравенство такого же вида:

$$|\hat{t} - t'| + |\hat{\eta} - \eta'| < \frac{\hat{c}_2}{E}, \quad (16)$$

где  $\hat{c}_2$  — константа, не зависящая от переменных  $t$  и  $\eta$ .

Теперь естественно ввести, в силу (12), функцию  $F(t) = \ln \frac{1 + f(\hat{t})}{1 - f(\hat{t})}$ , где  $\hat{t} = \hat{t}(t)$  — величина, определенная с помощью равенства (11). Из равенства (11) и условия теоремы 2 следует, что

$$\hat{t}(t_0) - t_0 = 2\ell - f(t_0) - f(\hat{t}_0) = 2\pi m_0, \quad \frac{d\hat{t}}{dt}(t_0) = \frac{1 - f(t_0)}{1 + f(t_0)} = \frac{1}{k_0} < 1, \quad (17)$$

а в силу равенств (12), (15) и определений (14) и функции  $F(t)$  получаем:

$$\hat{\eta} = \hat{\eta}(t, \eta) = \eta + F(t), \quad \hat{\eta}(t_0, \eta) = \eta + \ln k_0. \quad (18)$$

Из (17) видно, что  $t_0$ , рассматриваемое на окружности  $0 \leq t < 2\pi$ , является неподвижной точкой преобразования (11), причем эта точка притягивает некоторую свою окрестность — в силу того, что  $\frac{d\hat{t}}{dt}(t_0) < 1$ . В то же время переменная  $\eta$  растет под действием преобразования  $\hat{P}$  как арифметическая прогрессия с положительной разностью.

Действительно, согласно условию теоремы 2,  $m_0$  — целое число, а функция  $f(t)$  имеет период  $2\pi$  по  $t$ ; поэтому из первого равенства (17) и равенства (18) следует, что у траектории  $(\hat{t}_0^{(n)}, \hat{\eta}_0^{(n)}) = \hat{P}^n(t_0, \eta)$  преобразования  $\hat{P}$  (здесь  $\hat{P}^n$  —  $n$ -я итерация  $\hat{P}$ ) при всех  $n \geq 1$  координаты  $\hat{t}_0^{(n)}$ ,  $\hat{\eta}_0^{(n)}$  имеют вид арифметических прогрессий:

$$\hat{t}_0^{(n)} = t_0 + 2\pi m_0 n, \quad \hat{\eta}_0^{(n)} = \eta + n \ln k_0, \quad (19)$$

где  $\ln k_0 > 0$ . Кроме того, из второго равенства (17), и из (18) и (19) следует существование такого числа  $\hat{\varepsilon} > 0$ , что при  $|t - t_0| \leq \hat{\varepsilon}$  у траектории  $(\hat{t}^{(n)}, \hat{\eta}^{(n)}) = \hat{P}^n(t, \eta)$  координаты  $\hat{t}^{(n)}$ ,  $\hat{\eta}^{(n)}$  удовлетворяют следующим соотношениям:

$$\lim_{n \rightarrow \infty} (\hat{t}^{(n)} - \hat{t}_0^{(n)}) = 0, \quad |\hat{\eta}^{(n)} - \hat{\eta}_0^{(n)}| < \hat{c}_3 \hat{\varepsilon}, \quad (20)$$

где  $\hat{c}_3$  — константа, не зависящая от  $n$ ,  $t$  и  $\eta$ .

Если бы речь шла только о преобразованиях  $\hat{D}$  и  $\hat{P}$ , то из (20) и (19) вытекало бы утверждение теоремы 2. Однако первоначальные преобразования  $D$  и  $P$  отличаются, хотя и мало, от  $\hat{D}$  и  $\hat{P}$ . Тем не менее, и для

них утверждение теоремы 2 будет справедливо. Действительно, применив неравенства (16), (20) и равенства (15), (19), получим, что существует константа  $\eta_0$  такая, что если  $\eta \geq \eta_0$  и  $|t - t_0| \leq \hat{\varepsilon}$ , то у траектории  $(t_n, \eta_n) = P^n(t, \eta)$  координата  $\eta_n$  при всех  $n \geq 1$  удовлетворяет неравенству

$$\eta_n > \hat{c} + \eta + n \ln k_0,$$

где  $\hat{c}$  — константа, не зависящая от  $n$ ,  $t$  и  $\eta$ . Положив  $c = e^{\hat{c}}$ ,  $\varepsilon_0 = \hat{\varepsilon}$ ,  $E_0 = e^{\eta_0}$ ,  $E = e^\eta$ , мы видим, что  $E_n = e^{\eta_n} > e^{\hat{c} + \eta + n \ln k_0}$ , откуда и следует утверждение теоремы 2.

#### 4. УСКОРИТЕЛЬНАЯ МОДЕЛЬ С ОДНОЙ СТЕНКОЙ В ПОЛЕ ТЯЖЕСТИ

В этом разделе мы рассмотрим последнюю, третью, модель ускорения частицы.

Пусть  $f(t)$  — гладкая периодическая функция, имеющая по  $t$  период  $T > 0$ . Предположим, что бесконечно тяжелая горизонтальная стенка движется в вертикальном направлении  $q$  во времени  $t$  по закону  $q = f(t)$ . На стенку падает массивный шарик с постоянным ускорением  $g$  и отталкивается от нее по закону упругого удара (рис. 2). Верхней стенки («потолка») в этой модели нет, но из-за силы тяжести шарик каждый раз возвращается к нижней стенке и затем отражается от нее.

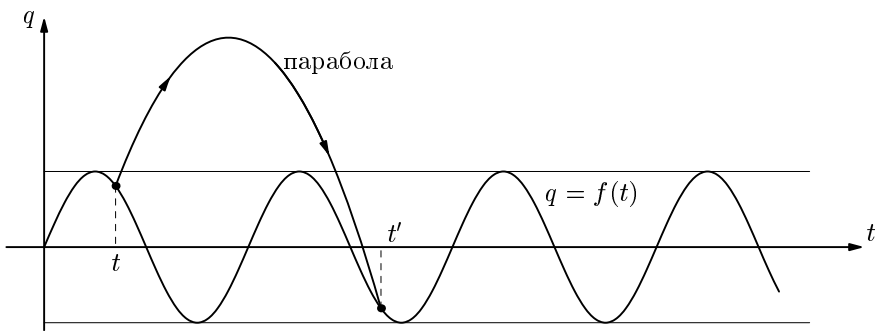
Предположим, что после столкновения со стенкой в момент времени  $t$  шарик приобрел скорость  $v > 0$ , а после следующего столкновения со стенкой в момент времени  $t'$  шарик приобрел скорость  $v'$ . В результате возникает преобразование  $S: (t, v) \rightarrow (t', v')$  плоскости  $t, v$ . Точка  $(t', v')$  однозначно определяется из следующих равенств:

$$f(t) + v(t' - t) - \frac{g}{2}(t' - t)^2 = f(t'), \quad (21)$$

$$v' = g(t' - t) - v + 2\dot{f}(t'), \quad (22)$$

(точка, как и раньше, — дифференцирование по  $t$ ). Равенство (21) означает, что шарик движется по дуге параболы, левый конец которой совпадает со значением  $f(t)$ , а правый — со значением  $f(t')$  (см. рис. 5). Формула (22) словесно формулируется так: к скорости  $g(t' - t) - v$  падающего вниз шарика добавляется удвоенная скорость движения стенки при упругом ударе с ней шарика (как и в ньютоновской модели Ферми — Улама, см. вторую формулу в (2)).

Для преобразования  $S$  будет построена специальная резонансная траектория (см. лемму 2), такая что каждый раз шарик будет попадать на колеблющуюся стенку в одной и той же фазе и, следовательно, будет испытывать один и тот же прирост скорости. Таким образом, скорость ша-



**Рис. 5.** График движения шарика во времени  $t$  от одной точки столкновения до другой точки столкновения

рика на этой траектории будет стремиться к бесконечности. Самое же трудное — доказать, что построенная траектория *устойчива* (по Ляпунову), т. е. что при малых отклонениях начальных условий, во все последующие моменты времени отличие отклоненной траектории от исходной будет мало. Устойчивость построенной в лемме 2 траектории позволяет сделать заключение, что для всех близких траекторий скорость шарика на них также будет стремиться к бесконечности. Таким образом, свойство  $v \rightarrow \infty$  выполняется на множестве положительной (и даже бесконечной) меры начальных данных.

Переходим к теореме 3 и ее доказательству. В ее формулировке используются значки  $f$ ,  $\dot{f}$ ,  $\ddot{f}$  и  $\dddot{f}$ , которые означают соответственно первую, вторую, третью и четвертую производные по времени.

**ТЕОРЕМА 3.** Предположим, что функция  $f(t)$  удовлетворяет следующим условиям:

- Существуют целое  $k_0 > 0$  и  $t_0$ , такие что

$$Tgk_0 = 2\dot{f}(t_0), \quad -g < \ddot{f}(t_0) = \beta < 0.$$

(Первое равенство — условие, позволяющее найти резонансную траекторию; второе — доказать ее устойчивость.)

- $\ddot{f}(t_0) \neq -\frac{g}{2} + \frac{g}{2} \cos(2\pi \frac{k}{r})$ , где  $k = 0, \pm 1, \dots, \pm r$ ;  $r = 1, 2, 3, 4$ .

- $a_0(\beta) \ddot{f}(t_0) + a_1(\beta) \dot{f}^2(t_0) \neq 0$ , где  $a_0(x)$  и  $a_1(x)$  — фиксированные функции, не зависящие от функции  $f(t)$ .

(Условия 2 и 3 — чисто технические; они позволяют применить общую теорему об устойчивости неавтономной системы.)

Тогда на плоскости  $t, v$  существует открытое множество начальных данных  $(t, v)$ , имеющее бесконечную меру (площадь), такое что у

траектории  $(t_n, v_n) = S^n(t, v)$  ( $n = 1, 2, \dots$ ) преобразования  $S$  координата  $v_n$  стремится к бесконечности, и при этом  $\lim_{n \rightarrow \infty} \frac{v_n}{n} = Tgk_0$ .

**ЗАМЕЧАНИЕ.** Множество функций  $f(t)$ , удовлетворяющих условию теоремы 3, содержит открытое множество в пространстве  $T$  — периодических аналитических функций, которому, в частности, принадлежат функции вида  $f(t) = h \sin \omega t$ , где  $h, \omega$  взяты из некоторого открытого множества на плоскости  $h, \omega$ .

**ДОКАЗАТЕЛЬСТВО ТЕОРЕМЫ 3.** Начнем с построения резонансной траектории.

**ЛЕММА 2.** Предположим, что  $2\dot{f}(t_0) = Tgk_0$ ,  $v_0 = \frac{1}{2}Tgm$ ,  $k_0 > 0$ ,  $m > 0$ ,  $k_0$  и  $m$  — целые числа. Тогда для траектории  $(t_n^0, v_n^0) = S^n(t_0, v_0)$  ( $n = 0, 1, 2, \dots$ ) выполнены неравенства

$$\begin{aligned} t_0 = t_0^0 &\equiv t_1^0 \equiv \dots \equiv t_n^0 \equiv \dots \pmod{T}, \quad t_{n+1}^0 - t_n^0 = T(m + 2k_0 n), \\ v_n^0 &= v_0 + Tgk_0 n \end{aligned}$$

(мы полагаем  $S^0 = \text{id}$  — тождественное отображение).

**ДОКАЗАТЕЛЬСТВО ЛЕММЫ 2** мы опускаем: оно легко получается из равенств (21) и (22) (см. [11, гл. 2, §1, лемма 1].

Изучим теперь поведение преобразования  $S$  в окрестности резонансной траектории  $(t_n^0, v_n^0)$  ( $n = 0, 1, \dots$ ), построенной в лемме 2.

С этой целью мы введем бесконечную последовательность отображений  $S_n$  ( $n = 1, 2, \dots$ ) фиксированной окрестности  $W$  точки  $(0, 0)$  следующим образом: если  $(t, v) \in W$ , то

$$(t'_n, v'_n) = S_n(t, v) \stackrel{\text{def}}{=} S(t_{n-1}^0 + t, v_{n-1}^0 + v) - (t_n^0, v_n^0). \quad (23)$$

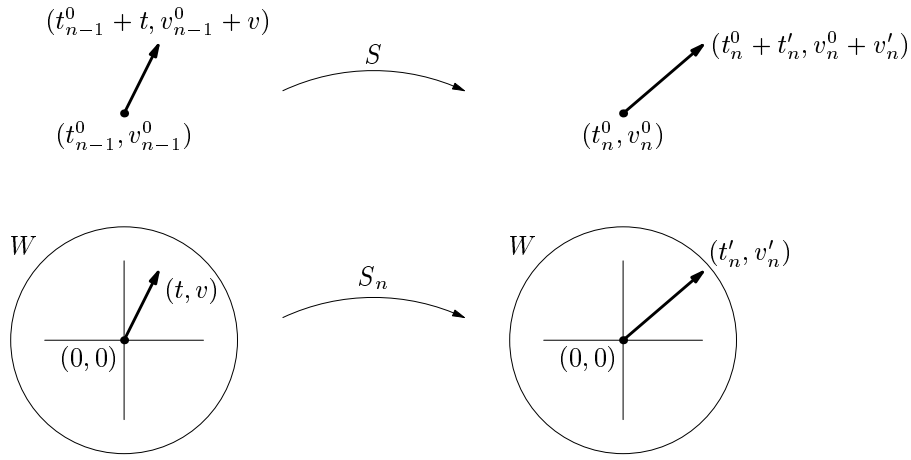
(См. рис. 6, на котором показано, как отображается точка  $(t, v)$  из окрестности нуля  $W$  под действием отображения  $S_n$ .) Из леммы 2 и из формул (21) и (22) следует, что отображения  $S_n$  сходятся при  $n \rightarrow \infty$  к предельному отображению  $S_\infty$ :

$$\lim_{n \rightarrow \infty} S_n(t, v) = S_\infty(t, v),$$

где  $S_\infty$  — отображение той же самой окрестности нуля  $W$ , имеющее вид:

$$S_\infty : (t, v) \rightarrow (t'_\infty, v'_\infty) = \left( t + \frac{2v}{g}, v + 2\dot{f}(t_0 + t + \frac{2v}{g}) - 2\dot{f}(t_0) \right). \quad (24)$$

В этом переходе к бесконечности еще раз проявляется общая идея всей работы, согласно которой мы изучаем поведение системы в окрестности бесконечно удаленной точки:  $S_\infty$  отвечает точке резонансной траектории, у которой координата  $v$  с самого начала равна  $\infty$ .



**Рис. 6.** Точечное отображение  $S$  плоскости  $t, v$  в ускорительной модели и порожденная им последовательность  $S_n$  отображений векторов в окрестности начала координат плоскости  $t, v$

В силу (24) преобразование  $S_\infty$  сохраняет площадь (якобиан отображения  $S_\infty$ , как нетрудно видеть, тождественно равен 1), причем начало координат  $(0, 0)$  — неподвижная точка отображения  $S_\infty$ . Кроме того, согласно условиям теоремы 3, неподвижная точка  $(0, 0)$  есть точка общего эллиптического типа, что означает, что линейная часть отображения  $S_\infty$  в этой точке в некоторых полярных координатах приводится к повороту окрестности нуля  $W$  на угол, отличный от  $2\pi k/r$ , где  $r$  принимает только 4 исключительных значения:  $r = 1, 2, 3, 4$ , а  $k = 0, \pm 1, \dots, \pm r$ . Поэтому к преобразованию  $S_\infty$  в окрестности нуля  $W$  можно применить теорему Мозера [12] (о ней уже шла речь в разделе 2), согласно которой точка  $(0, 0)$  устойчива (по Ляпунову) относительно преобразования  $S_\infty$ . Эквивалентная формулировка дается следующей леммой 3.

**ЛЕММА 3.** Для любого  $\varepsilon > 0$  существует такое  $\delta > 0$ , что, если  $|t| + |v| \leq \delta$ , то при любом натуральном числе  $n$  координаты точки

$$(t_\infty^{(n)}, v_\infty^{(n)}) = S_\infty^n(t, v)$$

удовлетворяют неравенству  $|t_\infty^{(n)}| + |v_\infty^{(n)}| \leq \varepsilon$ .

Переходим к завершающему этапу в доказательстве теоремы 3. Утверждение теоремы 3 об открытом множестве разгоняющихся до бесконечности траекторий преобразования  $S$  будет доказано, если будет установлено, что траектория  $(t_n^0, v_n^0)$  ( $n = 0, 1, 2, \dots$ ), построенная в лемме 2, *устойчива* относительно  $S$ . Последнее же утверждение в силу

определения преобразований  $S_n$  в (23) (см. рис. 6) сводится к доказательству следующей леммы 4 об устойчивости резонансной траектории.

**ЛЕММА 4.** Для любого  $\varepsilon > 0$  существует такое  $\delta > 0$ , что, если  $|t| + |v| \leq \delta$ , то при любом натуральном числе  $n$  координаты точки

$$(t^{(n)}, v^{(n)}) = S_n \circ S_{n-1} \circ \cdots \circ S_1(t, v)$$

(где  $S_1, \dots, S_n$  — отображения, введенные в (23)) удовлетворяют неравенству  $|t^{(n)}| + |v^{(n)}| \leq \varepsilon$ .

Формальное доказательство леммы 4 весьма сложно; в полном виде оно приведено в работе [11]. Однако с интуитивной точки зрения лемма 4 весьма прозрачна: ведь отображения  $S_n$  сходятся при  $n \rightarrow \infty$  к предельному отображению  $S_\infty$ , и если в формулировке леммы 4 заменить суперпозицию  $S_n \circ S_{n-1} \circ \cdots \circ S_1$  отображений  $S_1, \dots, S_n$  на  $n$ -ю степень  $S_\infty^n = \underbrace{S_\infty \circ S_\infty \circ \cdots \circ S_\infty}_{n \text{ раз}}$  отображения  $S_\infty$ , то мы сразу приходим к установленной выше лемме 3.

### ЗАКЛЮЧЕНИЕ

Во всех трех обсуждаемых моделях, связанных с физическим механизмом ускорения частиц, реализованы три различных способа одной и той же общей для них всех идеи — переходу к бесконечности и изучению динамической системы в бесконечно удаленной точке. Результаты исследования для каждой из этих моделей получаются различными. А именно, в *первой* модели (ньютоновская модель Ферми – Улама) скорость и энергия шарика всегда ограничены; во *второй* модели (релятивистская модель Ферми – Улама) скорость шарика ограничена скоростью света, а его энергия может стремиться к бесконечности; и, наконец, в *третьей* модели (ускорительная модель в поле тяжести) как скорость, так и энергия могут стремиться к бесконечности. При этом во второй и третьей моделях соответствующие эффекты справедливы для открытого множества (положительной меры) начальных данных.

Настоящая работа может рассматриваться как результат взаимодействия геометрии с теорией динамических систем и физикой. Однако для каждой из трех моделей, описанных здесь, связь с геометрией различная. Опишем эти геометрические связи более подробно.

- ▷ Модель Ферми – Улама, ньютоновский случай (п. 2): в основе доказательства лежит теорема об инвариантных замкнутых кривых плоского кольца. Она справедлива при выполнении чисто геометрического условия, согласно которому замкнутая кривая пересекается со своим образом (рис. 4).

- ▷ Модель Ферми – Улама, релятивистский случай (п. 3): здесь закон преобразования скорости и энергии шарика при упругом столкновении с движущейся стенкой основаны на геометрии теории относительности. Эта геометрия есть разновидность неевклидовой геометрии (геометрия Лобачевского), а траектории шарика могут рассматриваться как обобщенные геодезические линии в этой геометрии.
- ▷ Наконец, ускорительная модель с одной стенкой в поле тяжести (п. 4). Здесь присутствуют два аспекта, связанных с геометрией:
  1. как и в п. 2, первый аспект касается инвариантных замкнутых кривых при отображениях плоского кольца, и именно обобщение этого результата приводит к устойчивости резонансной траектории, построенной в лемме 2 (п. 4);
  2. геометрическая природа отображения  $S$  (см. равенство (21)), получающегося в результате перехода от одной точки пересечения параболы с графиком периодической функции  $f(t)$  к другой такой точке пересечения.

#### СПИСОК ЛИТЕРАТУРЫ

- [1] Fermi E. *On the origin of the cosmic radiation* // Phys. Rev., 1949. Vol. 75. No 8. P. 1169–1174.
- [2] Пустыльников Л. Д. *Модели Пуанкаре, строгое обоснование второго начала термодинамики из механики и механизм ускорения Ферми* // УМН, 1995. Т. 50. №1. С. 143–186.
- [3] Ulam S. *On some statistical properties of dynamical systems* // Proc. 4th Berkeley Sympos. on Math. and Probabil. 1961. Vol. 3. Berkeley – Los Angeles: California Press. P. 315–320.
- [4] Пустыльников Л. Д. *Об одной задаче Улама* // ТМФ, 1983. Т. 57. №1. С. 128–132.
- [5] Пустыльников Л. Д. *О модели Ферми – Улама* // ДАН СССР, 1987. Т. 292. №3. С. 549–553.
- [6] Пустыльников Л. Д. *Существование инвариантных кривых для отображений, близких к вырожденным, и решение проблемы Ферми – Улама* // Матем. сб., 1994. Т. 185. №6. С. 1–12.
- [7] Довбыш С. А. *Колмогоровская устойчивость, невозможность разгона Ферми и существование периодических решений в некоторых системах типа гамильтоновых* // Прикладная математика и механика, 1992. Т. 56. №2. С. 218–229.

- [8] Пустыльников Л. Д. *Новый механизм ускорения частиц и релятивистский аналог модели Ферми – Улама* // ТМФ, 1988. Т. 77. №1. С. 154–160.
- [9] Пустыльников Л. Д. *Об одной динамической системе* // УМН. 1968. Т. 23. №4 (142). С. 251–252.
- [10] Пустыльников Л. Д. *Существование множества положительной меры осциллирующих движений в одной задаче механики* // ДАН СССР, 1972. Т. 202. №2. С. 287–289.
- [11] Пустыльников Л. Д. *Устойчивые и осциллирующие движения в неавтономных динамических системах. II* // Труды ММО. 1977. Т. 34. С. 3–103.
- [12] Мозер Ю. *Об инвариантных кривых сохраняющего площадь отображения кольца в себя* // Математика. 1963. Т. 6. №5. С. 51–67.
- [13] Ландау Л. Д., Лившиц Е. М. *Теория поля*. М.: Физматгиз, 1962.